

А. Н. Поляков

## СТОХАСТИЧЕСКИЙ ТЕПЛОВОЙ ИСТОЧНИК В УПОРНОМ ГИДРОДИНАМИЧЕСКОМ ПОДШИПНИКЕ С НЕПОДВИЖНЫМИ СЕГМЕНТАМИ

**Представлена стохастическая тепловая модель упорного гидродинамического подшипника с неподвижными сегментами. Адекватность модели подтверждена экспериментальными исследованиями горизонтально-шлифовального станка.**

Теория и практика теплового моделирования станков показывает, что структура и адекватность тепловой модели в значительной степени определяются моделью теплового источника.

В шлифовальных станках одним из распространенных типов используемых подшипников являются гидродинамические. В большей степени распространение получили радиальные подшипники. Вместе с этим в отдельных моделях станков для восприятия осевой нагрузки устанавливаются упорные подшипники (подпятники). Осевые опоры по конструктивному исполнению подразделяются на два основных типа: опоры с неподвижными наклонными (несущими) поверхностями скольжения и опоры с самоустанавливающимися поверхностями. Это различие вносит особенности в методику их расчета. В данной работе рассматриваются подшипники первого исполнения.

Целью работы являлось разработка стохастического теплового источника гидродинамического упорного подшипника для последующей реализации его в стохастической тепловой модели станка. Не углубляясь в актуальность стохастического теплового моделирования, отметим, что необходимость такого подхода в тепловом моделировании объективно обусловлена двумя причинами. Первая причина объясняется существенной параметрической неопределенностью входящих в модель параметров. Вторая причина лежит в стохастической природе термодинамических процессов в станке. Напомним, что стохастическая тепловая модель включает две свои разновидности: вероятностную и статистическую. Вероятностная модель основана на построении законов распределения для выходных функций модели в соответствии с основными положениями теории вероятностей. В этом случае закон распределения для искомой функции получаются как результат последовательных преобразований законов входящих в модель параметров. Статистическая модель основана на статистической обработке результатов многовариантных вычислений детерминированной модели. Принци-

пиальное отличие при практической реализации двух разновидностей стохастической модели выражается в количестве выполняемых операций в одном расчете модели. Как правило, вероятностная модель более сложная (сложней, чем детерминированная), но требует меньше итераций расчета (в основном только для численного интегрирования и дифференцирования), чем статистическая.

Основу стохастической модели составляет детерминированная модель. На первом этапе стохастического моделирования всегда выполняется оценка эффективности реализации вероятностного и статистического подходов. При этом может оказаться, что вероятностная модель нереализуема, ввиду сложности детерминированной модели, обусловленной наличием зависимых случайных функций.

В качестве базовой детерминированной модели использована модель теплового источника, приведенная в работах Чернавского С. А., Воскресенского В. А. и Дьякова В. И. Проведенный вычислительный эксперимент, в котором сопоставлялись эти модели и приведенные модели в известных работах Решетова Д. Н. и Пуша А. В., показал: модели изложенные в работах первых трех авторов, позволили получить наименьшие расхождения с экспериментальными данными фирмы FAG. Для сопоставимого параметра быстроходности подшипника результаты моделирования оказались наиболее близкими (расхождения не превысили 10%). Результаты, полученные по моделям, изложенным в работах Решетова Д. Н. и Пуша А. В. (это основные справочные пособия для расчетов металорежущих станков), отличались более чем на 100%. Хотя это не означает, что эти модели не верны. Это лишь означает, что в работах Решетова Д. Н. и Пуша А. В. представленные модели могут использоваться при наличии дополнительных пояснений и ограничений.

Не останавливаясь подробно на анализе возможности практической реализации вероятностного теплового источника для упорного гидродина-

мического подшипника, отметим следующее. При выводе окончательного соотношения для вероятностного теплового источника сформировались зависимые случайные функции с условными законами распределения, аналитическое представление которых получить не удалось.

Выделим основные задачи и алгоритмы, реализующие статистический подход при построении теплового источника упорного гидродинамического подшипника.

Первая задача. Определение числовых характеристик: математическое ожидание и дисперсия от мощности тепловыделения в подшипнике.

Вторая задача. Построение статистического закона распределения для мощности тепловыделения.

Назначение первой задачи очевидно. Необходимость во второй задаче обусловлена главной задачей теплового моделирования шпиндельного узла станка и подшипника в частности – определение температурного поля. Актуальность данной задачи порождается еще и нелинейностью мощности тепловыделения в подшипнике, обусловленной функциональной связью вязкости масла и температуры. Установление закона распределения для мощности тепловыделения в подшипнике позволит использовать статистическую модель теплового источника в гибридной стохастической тепловой модели, совместно реализующей вероятностный и статистический подход при построении температурного поля. В гибридной стохастической тепловой модели: статистический подход используется в тепловом источнике, а построение температурного поля осуществляется реализацией вероятностного подхода.

При построении стохастической модели необходимо выбрать семейства неслучайных и случайных параметров.

Для под пятника с неподвижными наклонными несущими поверхностями потери на трение возникают на двух участках. Первый участок является плоским без скосов или иногда его называют плоскопараллельным из-за его параллельности сопрягаемой поверхности. Этот участок отвечает за восприятие нагрузки на переходных режимах, когда скорость относительного перемещения недостаточна для образования в клиновом зазоре необходимого гидродинамического давления. Второй участок – клиновой и принимается в литературе как нагруженная зона.

Потери на клиновых участках  $N_k$  имеют вид, [Вт]:

$$N_k = \left( z \cdot W \mu_{cp} b R_{np}^3 \right)^{0.5} \omega^{1.5} \xi \quad (1)$$

где  $z$  – число клиновых участков;

$\omega$  – частота вращения подшипника 1/с;

$b$  – длина наклонной поверхности

$$b = 0.5 D_1 (\beta - 1), \text{ м};$$

$$R_{np} = \frac{D_1 (\beta^3 - 1)}{3(\beta^2 - 1)} \text{ – приведенный радиус подшипника, м;}$$

$D_1$  – внутренний диаметр под пятника, м;

$D_2$  – наружный диаметр под пятника, м;

$\beta = D_2 / D_1$  – отношение диаметров под пятника;

$W$  – нагрузка, действующая на подшипник, Н;

$\xi$  – безразмерный коэффициент сопротивления вращению, определяется по диаграмме.

Выражение для потерь на плоскопараллельных участках  $N_a$  имеет вид, [Вт]:

$$N_a = z \cdot \theta_a \frac{\mu_{cp} \omega^2 D_1^4}{64 h_{min}} (\beta^4 - 1), \quad (2)$$

где  $\theta_a$  – угловой размер плоскопараллельного участка;

$h_{min}$  – толщина смазочного слоя на выходе из клина.

Угловой размер плоскопараллельного участка:

$$\theta_a = \frac{8W}{z [p_m] D_1^2 (\beta^2 - 1)}, \quad (3)$$

здесь  $[p_m]$  – допустимая удельная нагрузка на подшипник, Па.

Толщина смазочного слоя на выходе из клина определяется по выражению, [м]:

$$h_{min} = l \left( \frac{\mu_{cp} \omega R_{np} b z \zeta}{W} \right)^{0.5} \quad (4)$$

здесь  $\zeta$  – безразмерный коэффициент нагруженности;  $l$  – средняя ширина несущей поверхности, [м]:

$$l = 0.25 \cdot \theta_k D_1 (\beta + 1) \quad (5)$$

Угол наклонного участка несущей поверхности  $\theta_k$  определяется, [м]:

$$\theta_k = \frac{2\pi}{z} - \frac{4b_k}{D_1(1+\beta)} - \theta_a \quad (6)$$

Для упорных подшипников оптимизируемыми параметрами являются:

1) размер плоского участка **a**. Известно, что размер **a** выбирают так, чтобы среднее давление неподвижной пяты на плоскопараллельную поверхность под пятника не превышало допускаемого;

2) соотношение диаметров или радиусов под пятника, т. е. оптимизируемыми являются  $D_2$  и  $D_1$ ;

3) соотношение ширины несущей поверхности  $l$  и длины наклонной поверхности  $b$ ;

4) число наклонных поверхностей  $z$  определяют в зависимости от характера вращения пяты. Так для постоянного направления вращения, характерного для работы шпинделя шлифовального станка:

$$z = \frac{\pi D_{cp}}{l + b_k + a} \quad (7)$$

где  $b_k$  – ширина радиальной канавки, разделяющей поверхность под пятника на равные участки принимают равной **2–4 мм**.

На основании представленной детерминированной модели теплового источника (1)-(7) семейство случайных параметров образуют внутренний диаметр  $D_1$ , параметр  $\beta$  отношений диаметров под пятника и ширина разделительной канавки  $b_k$ . Все остальные параметры принимаются неслучайными.

Прежде чем перейти к изложению алгоритма формирования статистического теплового источника, остановимся на процедуре рандомизации или имитации случайных величин при заданном законе распределения и автоматизации задания параметров  $\xi$  и  $\zeta$ , в соотношениях (1) и (4).

Рандомизация строится по следующему алгоритму:

1) формируется источник случайных чисел  $x_R$  из класса вещественных чисел,  $x_R \in [0,1]$ .

Для этого используется генератор случайных чисел из диапазона от **0** до некоторого значения  $N_{\max}$ , определяемого компилятором (например, для компилятора Watcom C/C++  $N_{\max} = 32767$ ; для Borland C 3.0  $N_{\max} = 232$ ):

$$x_R = N_i / N_{\max}. \quad (8)$$

здесь  $N_i$  – текущее значение, генерируемое генератором случайных чисел.

2) устанавливается диапазон неопределен-

сти случайных величин. На основании чего выполняется их рандомизация, в соответствии с выражением вида:

$$x = x_{\min} + x_R \Delta_x \quad (9)$$

где  $x_{\min}$  – минимальное значение случайной величины, задаваемое заранее;

$\Delta_x$  – приращение случайной величины  $x$ :

$$\Delta_x = (x_{\max} - x_{\min}) / m, \quad (10)$$

где  $m$  – количество рандомизируемых чисел  $x_R$ .

Таким образом, формируется следующая совокупность случайных параметров:

$$\begin{aligned} D_1 &= D_{\min} + x_R \Delta_D; \beta = \beta_{\min} + x_R \Delta_{\beta}; \\ b_k &= b_{k,\min} + x_R \Delta_b; \end{aligned} \quad (11)$$

В общем случае безразмерный коэффициент сопротивления вращению  $\xi$  и безразмерный коэффициент нагруженности  $\zeta$  выбираются по диаграммам, в зависимости от соотношения толщины смазочного слоя на входе  $h_2$  и выходе  $h_1$  из клина. Количественно это описывается безразмерным параметром  $\beta_h = h_2 / h_1$ . В работах по расчету гидродинамических подшипников отмечается, что для эксплуатационных режимов работы следует принимать параметр  $\beta_h$  из диапазона:  $2 \leq \beta_h \leq 3$ . Именно поэтому в литературе приводятся данные по безразмерным коэффициентам  $\xi$  и  $\zeta$  из условия, что  $\beta_h = 2$  или  $\beta_h = 3$ .

Принимая во внимание, что в реальных условиях в конструкциях условие соблюдения параметра  $\beta_h$ , заложенное в проекте, может быть нарушено по различным причинам, назначение фиксированного значения  $\xi$  и  $\zeta$  осуществляется путем рассмотрения этих параметров в виде случайных величин, с равномерным распределением. При этом нижняя и верхние грани области состояний этих параметров являются переменными, зависящими от случайной величины  $x_\xi = l/b$ .

Применение в автоматизированных расчетах для задания значений безразмерных коэффициентов  $\xi$  и  $\zeta$  в виде диаграмм неудобно. Поэтому следует использовать интерполяционные зависимости:

– для  $\beta_h = 2$

$$\xi(x_\xi) = 0,196 + 0,0446x_\xi + 0,0343x_\xi^2 \quad (12)$$

$$\zeta(x_\xi) = 0,158 - 0,109x_\xi + 0,0234x_\xi^2; \quad (13)$$

– для

$$\beta_h = 3$$

$$\xi(x_\xi) = 0,18 + 0,034x_\xi + 0,0235x_\xi^2 - 0,001x_\xi^3 \quad (14)$$

$$\zeta(x_\xi) = 0,146 - 0,101x_\xi + 0,0221x_\xi^2. \quad (15)$$

Как показал проведенный вычислительный эксперимент, расхождение значений, полученных по этим выражениям и с помощью диаграмм, находится в пределах  $\pm 1\%$ .

Задание случайных параметров  $\xi$  и  $\zeta$  осуществляется следующим образом. В соответствии с принятым равномерным законом распределения для каждого значения  $x_\xi$  следует записать выражения для плотностей распределений  $g_{x_\xi}(x_\xi)$  и  $g_{\xi_\xi}(x_\xi)$  в виде:

$$g_{x_\xi}(x_\xi) = \frac{1}{\xi_2(x_\xi) - \xi_3(x_\xi)}; \\ g_{\xi_\xi}(x_\xi) = \frac{1}{\zeta_2(x_\xi) - \zeta_3(x_\xi)} \quad (16)$$

где  $x_{\xi,3}, x_{\xi,2} \in [0,2;2]$ .

Здесь индексы «2» и «3» используются для обозначений функциональных зависимостей при соответствующих значениях параметра  $\beta_h$ .

Для проведения более полного анализа диапазон изменения  $x_\xi = L/B$  здесь принят более широкий, чем обычно принимается (традиционно принимают диапазон изменения  $x_{\xi,3}, x_{\xi,2} \in [0,5;1,6]$ ).

Случайная величина  $x_\xi$  рандомизируется в соответствии с выражением (9). Каждому одному значению  $x_\xi$  соответствует не единственные значения параметров  $\xi$  и  $\zeta$ , а совокупности случайных величин с соответствующими плотностями распределений описываемых выражением (16). В этом случае коэффициенты  $\xi$  и  $\zeta$  выбираются в соответствии с выражениями:

$$\xi_i = \xi_{3,i} + x_{\xi,i}\Delta_{\xi,i} \text{ и } \zeta_i = \zeta_{3,i} + x_{\xi,i}\Delta_{\zeta,i}$$

$$\Delta_{\xi,i} = |\xi_{2,i} - \xi_{3,i}| \text{ и } \Delta_{\zeta,i} = |\zeta_{2,i} - \zeta_{3,i}|.$$

здесь  $i$  – индекс соответствующий выбранному значению  $x_\xi$ .

Алгоритм формирования статистического теплового источника включает семь основных блоков

(рисунок 1).

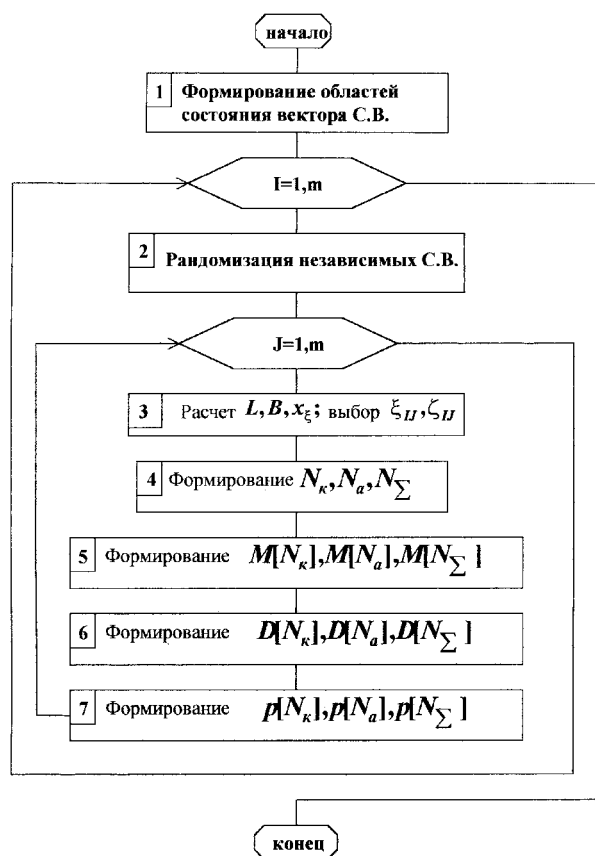


Рисунок 1. Блок-схема алгоритма формирования числовых характеристик и статистической функции распределения

В первом блоке осуществляется формирование областей состояния вектора случайных величин. Так, для внутреннего диаметра подшипника будем принимать  $\Delta_{D_1} = \pm 0,5D_1$ . Для коэффициента  $\beta_{min} = 1,5$ ;  $\beta_{max} = 2$  и  $\Delta_\beta = 0,5$ . Ширина канавки принимается  $b_{\kappa,min} = 2 \text{ мм}$  и  $b_{\kappa,max} = 4 \text{ мм}$ .

Второй блок находится внутри цикла  $I = 1, m$ . Цикл организован на рандомизации случайных чисел. Во втором блоке помещается источник случайных чисел  $x_\xi$ , по значениям которого, в соответствии с соотношением (11), осуществляется формирование вектора случайных величин:  $D_1, \beta, b_\kappa$ . После этого начинает выполняться второй цикл со счетчиком  $J$ . Цикл открывается третьим блоком, в котором происходит выбор безразмерных коэффициентов  $\xi_{IJ}, \zeta_{IJ}$ . Их выбор строится на предварительном вычислении средней ширины несущей поверхности  $l$  и длины ее наклонного участка  $b$ . Этот блок также включает: определение углов наклонного и плоскопараллельного участков несущей поверхности

сти  $\theta_k$  и  $\theta_a$ , соответственно; минимальной толщины смазочного слоя  $h_{\min}$ .

**Четвертый** блок включает организацию вычислительного процесса для составляющих потерь на трение  $N_k$ ,  $N_a$  и суммарных потерь в подшипнике  $N_\Sigma$ . В этом блоке формируются три совокупности случайных величин  $N_{k,i}$ ,  $N_{a,i}$ , и  $N_{\Sigma,i}$ . Индекс « $i$ » соответствует текущей реализации случайных величин, входящих в (1) и (2).

В **пятом** блоке вычисляются математические ожидания случайных величин, вычисленных в четвертом блоке, представляющих среднее арифметическое для отдельных совокупностей  $N_{k,i}$ ,  $N_{a,i}$ , и  $N_{\Sigma,i}$ .

$$M[N_k] = \sum_{i=1}^m N_{k,i} / m; M[N_a] = \sum_{i=1}^m N_{a,i} / m; (17)$$

$$M[N_\Sigma] = \sum_{i=1}^m N_{\Sigma,i} / m.$$

**Шестой** блок по структуре подобен **пятому**, только здесь вычисляются дисперсии искомых случайных величин  $D[N_k]$ ,  $D[N_a]$  и  $D[N_\Sigma]$  в соответствии с выражением:

$$\begin{aligned} D[N_k] &= \sum_{i=1}^m N_{k,i}^2 / m - M^2[N_k]; \\ D[N_a] &= \sum_{i=1}^m N_{a,i}^2 / m - M^2[N_a]; \\ D[N_\Sigma] &= \sum_{i=1}^m N_{\Sigma,i}^2 / m - M^2[N_\Sigma] \end{aligned} \quad (18)$$

В **седьмом** блоке выполняется построение статистической функции распределения. Для этого выбирается число интервалов  $p$  и вся область состояний для  $N_k$ ,  $N_a$  и  $N_\Sigma$  разбивается на  $p$  интервалов. Тогда размер каждого интервала составляет следующие величины:

$$\Delta_{1,N_k} = \Delta_{N_k} / p; \quad \Delta_{2,N_a} = \Delta_{N_a} / p$$

и

$$\Delta_{3,N_\Sigma} = \Delta_{N_\Sigma} / p,$$

где  $\Delta_{N_k} = N_{k,\max} - N_{k,\min}$ ;

$\Delta_{N_a} = N_{a,\max} - N_{a,\min}$ ;

$\Delta_{N_\Sigma} = N_{\Sigma,\max} - N_{\Sigma,\min}$ .

После этого устанавливаются относительные частоты попадания текущих случайных величин  $N_{k,i}$ ,  $N_{a,i}$  и  $N_{\Sigma,i}$  в виде:

$$p_{1,j} = m_{1,j} / m; p_{2,j} = m_{2,j} / m; p_{3,j} = m_{3,j} / m,$$

где  $m_{1,j}; m_{2,j}; m_{3,j}$  – частота попадания текущих случайных величин  $N_{k,i}$ ,  $N_{a,i}$  и  $N_{\Sigma,i}$  в соответствующие интервалы  $\Delta_{1,N_k}$ ,  $\Delta_{2,N_a}$ , и  $\Delta_{3,N_\Sigma}$ .

Предложенный алгоритм был реализован программно. После этого был проведен вычислительный эксперимент, в ходе которого исследовались следующие положения:

1) влияние ширины диапазона неопределенности каждого из случайных параметров  $D_1$ ,  $\beta$  и  $b_k$  на характер функции распределения выходных случайных функций  $N_k$ ,  $N_a$  и  $N_\Sigma$  и их область состояний;

2) влияние количества рандомизируемых чисел  $m$  на флуктуацию соответствующих числовых характеристик и вид функций распределения выходных случайных функций  $N_k$ ,  $N_a$  и  $N_\Sigma$ ;

3) выбор рационального числа интервалов  $p$  для построения законов распределения случайных функций  $N_k$ ,  $N_a$  и  $N_\Sigma$ .

В целях сокращения объема статьи иллюстрации приведены для кривых распределения только суммарных потерь  $N_\Sigma$  (рисунок 2). Кривые 1 и 3 соответствуют меньшему значению, а кривые 2 и 4 соответствуют большим значениям неопределенности для случайных параметров  $b_k$  (рисунок 2. а),  $\beta$ , (рисунок 2. б) и  $D_1$  (рисунок 2. в). Анализ кривых распределения показывает, что наиболее сильное влияние на характер функции распределения суммарных потерь на трение  $N_\Sigma$  оказывают флуктуации внутреннего диаметра  $D_1$  и коэффициента  $\beta$ . Кривые распределения 1 и 2 получены при рандомизации 10000 реализаций, т. е.  $m = 10000$ . Кривые распределения 3 и 4 получены при  $m = 500$ . Сопоставление кривых распределения 1 и 3, а также 2 и 4 показывает, что такое большое число реализаций случайного процесса, как 500, еще не обеспечивает хорошего качества статистического закона распределения. Для установления рационального числа интервалов разбиения  $p$  вычислительный эксперимент включал построение законов распределения при различном количестве интервалов  $p$  и различном числе реализаций  $m$ . При этом рациональное число интервалов  $p$  следует принимать не выше 20. Именно это число интервалов

позволяет получать вполне устойчивый характер статистического закона распределения при числе реализаций случайных функций:  $m \leq 32767$ . Именно это количество реализаций случайного процесса для ПК обеспечивает вполне приемлемые машинные затраты. В конкретном примере расчет выполнен для упорного подшипника горизонтально-шлифовального станка высокой точности с внутренним диаметром  $D_1 = 58 \text{ мм}$ . Расчет проводился для частоты вращения  $n = 3000 \text{ мин}^{-1}$  для масла **И – 12** при температуре  $35^\circ C$ . Этой температуры, как показали натурные эксперименты, масло достигает после 30 минут работы станка, при начальной температуре окружающей среды не выше  $20^\circ C$ .

Таким образом, приведенная модель теплового источника может быть встроена в общую стохастическую тепловую модель шпиндельного узла и станка в целом. Однако вычислительные затраты на формирование статистического источника могут стать определяющими эффективность теплового моделирования станка, если в алгоритме формирования температурного поля будут жестко увязаны реализации случайного источника с реализациями случайного термодинамического процесса в шпинделе. Поэтому статистический тепловой источник представляет практический интерес только в гибридной тепловой модели, разработка которой осуществляется в настоящее время.

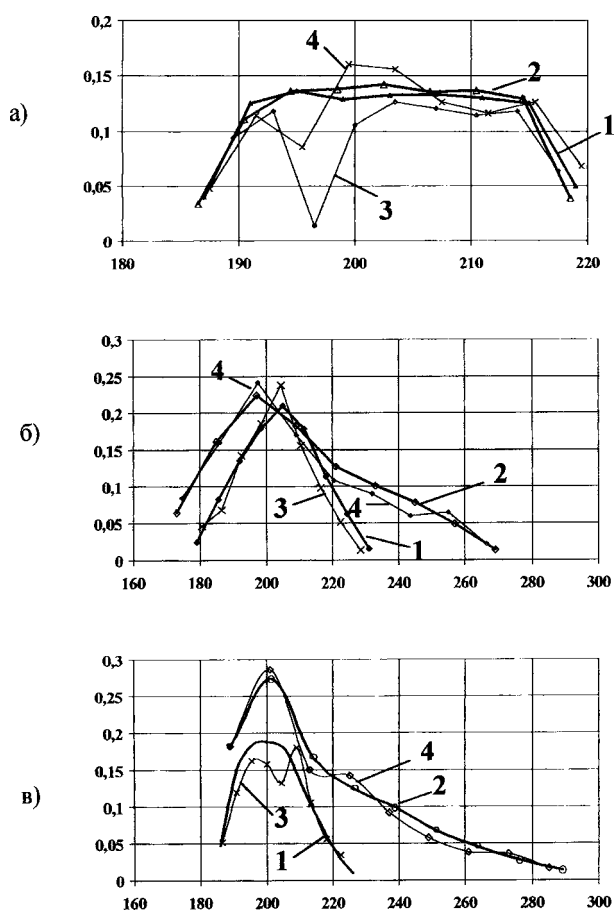


Рисунок 2. Кривые распределения для суммарных потерь трения в упорном гидродинамическом подшипнике